

# РАССЕЯНИЕ СВЕТА ГЕКСАГОНАЛЬНОЙ ПИРАМИДОЙ И ИГЛОПОДОБНЫМ СТОЛБИКОМ В ПРИБЛИЖЕНИИ РЭЛЕЯ-ГАНСА-ДЕБАЯ

LIGHT SCATTERING BY □ HEXAGONAL PYRAMID AND NEEDLE-SHAPED COLUMN IN THE RAYLEIGH-GANS-DEBYE APPROXIMATION

*K. Shapovalov*

## Annotation

The formulas for light scattering amplitude of hexagonal pyramid and hexagonal needle-shaped column (columns with two pyramidal tops) in the Rayleigh-Gans-Debye approximation are obtained. The numerical results for light scattering phase functions of hexagonal pyramid and hexagonal needle-shaped column in the Rayleigh-Gans-Debye approximation and in the method of Purcell-Pennipacker (or discrete dipole method, or coupled dipole method) are compared. The good agreement for particles with small phase shifts are obtained.

**Keywords:** optically "soft" particles, hexagonal pyramid, light scattering phase function.

**Шаповалов Константин Алексеевич**  
К.ф-м.н., доцент, ГБОУ ВПО "Красноярский государственный медицинский университет им. профессора В.Ф. Войно-Ясенецкого" Министерства здравоохранения Российской Федерации

## Аннотация

Получены формулы для амплитуды светорассеяния гексагональной пирамиды и иглоподобного гексагонального столбика в приближении Рэлея-Ганса-Дебая. Проведено численное сравнение индикатрис светорассеяния гексагональной пирамиды и иглоподобного гексагонального столбика в приближении Рэлея-Ганса-Дебая с результатами расчета методом Парселла-Пеннипакера или Дискретных диполей. Получено хорошее согласие для частиц с малым фазовым сдвигом.

## Ключевые слова:

Оптически "мягкие" частицы, гексагональная пирамида, индикаторы светорассеяния.

## ВВЕДЕНИЕ

Методы светорассеяния широко и успешно применяются для таких приложений, как оптика атмосферы и океана, физическая химия растворов и коллоидов, материаловедение, биофизика и лазерная биомедицина [1–5]. При решении задачи рассеяния света аэрозольные частицы атмосферы и др. моделируются частицами различной формы. Так, для сферических частиц известно полученное методом разделения переменных аналитическое решение или теория Ми [1,2]. Однако, ледяные кристаллы перистых облаков имеют часто несферическую форму и моделируются гексагональными призмами, пластинками и иглоподобными частицами. В белковых коллоидных и кристаллических системах, также часто встречаются разнообразные иглоподобные частицы [4, 6].

Если частицы дисперсной среды оптически "мягкие" ( $m^{-1} \ll 1$ , где  $m$  – относительный показатель преломления светорассеивающей частицы), то можно использовать приближенные методы Рэлея-Ганса-Дебая (РГД) и Аномальной Дифракции (АД) [1,2]. Формулы для характеристик светорассеяния призм произвольного многоугольного сечения в приближении АД [7,8] и пирамид в при-

ближении геометрической оптики [9] получены ранее. Подобные выражения в приближении РГД получены ранее только для пирамиды с прямоугольным основанием [10, 11].

Целью настоящей работы явилось получение аналитических выражений в приближении РГД для амплитуды и индикаторы светорассеяния пирамиды, имеющей гексагональное основание, а также частиц иглоподобной формы, составленных из гексагональной призмы и двух торцевых пирамид.

## Амплитуда светорассеяния

Используем интегральное представление амплитуды для однородной частицы в скалярном виде в приближении РГД [11,12]:

$$f(\theta, \beta) = \frac{k^2}{4\pi} \int_V (m^2 - 1) \exp(i \mathbf{k}_s \cdot \mathbf{r}) dV, \quad (1)$$

где

$\mathbf{i}$ ,  $\mathbf{s}$  – единичные векторы вдоль направлений падаю-

щего и рассеянного света соответственно,  $\mathbf{r}$  радиус–вектор точки внутри частицы,  $\mathbf{k}_s = k(\mathbf{i} - \mathbf{s})$ ,  $k = 2\pi/\lambda$  – волновое число и  $\lambda$  – длина волны света,

$$|\mathbf{k}_s| = 2k \sin\left(\frac{\theta}{2}\right)$$

$\theta$  – угол между векторами  $\mathbf{i}$  и  $\mathbf{s}$ ,  $\beta$  угол между осью  $z$  и вектором  $\mathbf{k}_s$ .

Заметим, что амплитуда может быть выражена и по–другому через углы в сферических координатах, указывающих направление падающего  $\theta_i, \phi_i$  и рассеянного света  $\theta_s, \phi_s$  соответственно:

$$\begin{aligned} k_1 &= k(\sin\theta_i \cos\phi_i - \sin\theta_s \cos\phi_s), \\ k_2 &= k(\sin\theta_i \sin\phi_i - \sin\theta_s \sin\phi_s), \\ k_3 &= k(\cos\theta_i - \cos\theta_s), \\ k_4 &= \sqrt{k_1^2 + k_2^2}, \quad k_s = \sqrt{k_1^2 + k_2^2 + k_3^2}, \end{aligned}$$

причем

$$k_3(\theta, \beta) = k_s \cos\beta, \quad k_4(\theta, \beta) = k_s \sin\beta.$$

Форм–фактор в приближении РГД [1,2,4] для однородной частицы с объемом  $V$  может быть записан как

$$\Phi(\theta, \beta) = \frac{4\pi f(\theta, \beta)}{k^2(m^2-1)V} = \frac{1}{V} \int_V \exp(i \mathbf{k}_s \cdot \mathbf{r}) dV. \quad (2)$$

### Гексагональная пирамида

Амплитуда светорассеяния для клина в пирамиде с  $n$ –угольным основанием (см. рис. 1 а) [11]:

$$\begin{aligned} f_w &= \frac{k^2(m^2-1)3V_w}{4\pi k_1 k_3 R H \sin(\gamma')} \left[ U(k_6 R, 0) - \right. \\ &\quad \left. - U(k_5 R, 0) + U(k_5 R, k_3 H) - \right. \\ &\quad \left. - U(k_6 R, k_3 H) \right], \end{aligned} \quad (3)$$

где

$$\begin{aligned} V_w &= \frac{1}{6} H R^2 \sin \gamma \quad \text{– объем клина,} \\ \gamma &= \frac{2\pi}{n}, \quad \gamma' = \frac{\gamma}{2}, \end{aligned}$$

$$\begin{aligned} k_5 &= k_2 \cos\gamma' + k_1 \sin\gamma', \quad k_6 = k_2 \cos\gamma' - k_1 \sin\gamma', \\ U(x, y) &= \frac{\exp(ix) - \exp(iy)}{x - y}. \end{aligned}$$

Вращая вокруг оси  $OZ$   $n-1$  раз амплитуду светорассеяния клином пирамиды (3) на угол  $\gamma$  и суммируя все слагаемые с учетом изменения  $k_1, k_2, k_5, k_6$  [11], получим амплитуду целой пирамиды:

$$f_{PN} = \sum_{s=0}^{n-1} f_w(s\gamma) \quad (4)$$

Таким образом, амплитуда светорассеяния пирамидой с гексагональным основанием ( $n=6, \gamma = \pi/3$ , рис. 1 б) из (4) получится вида

$$\begin{aligned} f_{PD} &= \frac{k^2(m^2-1)V_{PD}}{2\pi k_3 R H} \left[ \frac{k_5}{k_6 k_1} p(k_5 R, k_3 H) - \right. \\ &\quad \left. - \frac{k_6}{k_5 k_1} p(k_6 R, k_3 H) - \frac{k_1}{k_5 k_6} p(k_1 R, k_3 H) \right], \end{aligned} \quad (5)$$

где

$$\begin{aligned} p(x, y) &= h_0(x) - \frac{x}{2} j_0\left(\frac{x+y}{2}\right) j_0\left(\frac{x-y}{2}\right) + \\ &\quad + i \frac{xy}{x^2 - y^2} \{j_0(x) - j_0(y)\}, \\ k_5 &= \frac{k_1 + \sqrt{3}k_2}{2}, \quad k_6 = \frac{-k_1 + \sqrt{3}k_2}{2}, \\ V_{PD} &= \frac{\sqrt{3}HR^2}{2}, \quad j_0(x) = \frac{\sin(x)}{x}, \\ h_0(x) &= \frac{1 - \cos(x)}{x} \end{aligned}$$

– сферические функции  
Бесселя и Ханкеля ну-  
левого порядка.

### Иглоподобный гексагональный столбик

Амплитуду светорассеяния для иглоподобного столбика, составленного из гексагональной призмы и двух торцевых гексагональных пирамид (см. рис. 1 в), используя отмеченные ранее свойства сложения, перемещения и вращения форм–факторов в приближении РГД [11,13–18], получим в скалярном виде:

$$f = \frac{k^2(m^2-1)}{4\pi} \left[ \Phi_{HEX} V_{HEX} + \right. \quad (6)$$

$$\left. + 2V_{PD} \left( \Phi_{PD}^{\text{Re}} \cos\left(\frac{k_3 H}{2}\right) - \Phi_{PD}^{\text{Im}} \sin\left(\frac{k_3 H}{2}\right) \right) \right],$$

$$\text{где } \Phi_{HEX} = \frac{2}{3} j_0\left(\frac{k_3 H}{2}\right) [F_1 + F_2 + F_3]$$

– форм–фактор для гексагональной призмы [11,13],

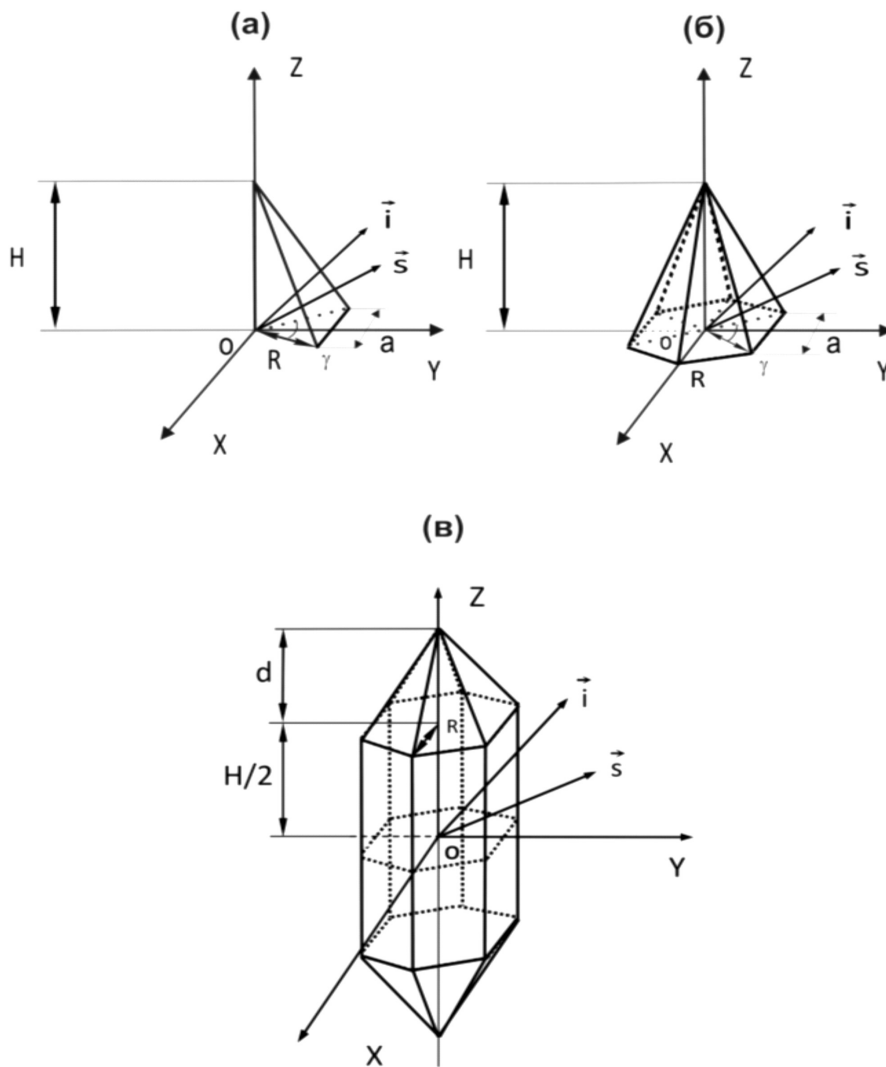


Рис. 1. Геометрия светорассеяния клином многоугольной пирамиды (а), целой гексагональной пирамиды (б) и гексагональным иглоподобным столбиком (в).

$$F_1 = j_0\left(\frac{k_1 R}{2}\right) j_0\left(\frac{k_2 \sqrt{3} R}{2}\right),$$

$$F_2 = \frac{1}{4}\left(1 - \sqrt{3} \frac{k_1}{k_2}\right) j_0\left(\frac{\sqrt{3}R(k_2 - \sqrt{3}k_1)}{4}\right) j_0\left(\frac{R(k_1 + \sqrt{3}k_2)}{4}\right),$$

$$F_3 = \frac{1}{4}\left(1 + \sqrt{3} \frac{k_1}{k_2}\right) j_0\left(\frac{\sqrt{3}R(k_2 + \sqrt{3}k_1)}{4}\right) j_0\left(\frac{R(k_1 - \sqrt{3}k_2)}{4}\right),$$

$$V_{HEX} = \frac{3\sqrt{3}HR^2}{2},$$

$\Phi_{PD}^{Re}$ ,  $\Phi_{PD}^{Im}$ ,  $V_{PD}$  – форм-фактор (реальная и мнимая составляющие) и

объем пирамидальной торцевой части соответственно.

#### Индикатриса светорассеяния

Индикатриса светорассеяния [или элемент матрицы рассеяния  $f_{11}$ ] для естественного света (неполяризованного или произвольно поляризованного света) при  $\beta = 0$  рассчитывается по формуле [1, 5, 12]

$$f_{11}(\theta, \beta) = \left( \frac{1 + \cos^2 \theta}{2} \right) k^2 |f(\theta, \beta)|^2, \quad (7)$$

где

$|f(\theta, \beta)|^2$  квадрат модуля амплитуды светорассеяния.

Причем, везде далее индикатриса светорассеяния (7) нормализована на направление вперед.

Индикатриса светорассеяния гексагональной пирамиды, рассчитанная по амплитуде РГД (5), для частицы с относительным показателем преломления  $m = 1.1 + i 0.01$  и  $kR=3$ ,  $kH=3$  в сравнении с расчетами методом дискретных диполей (АДДА) [19] при 42791 диполях показана на рис. 2.

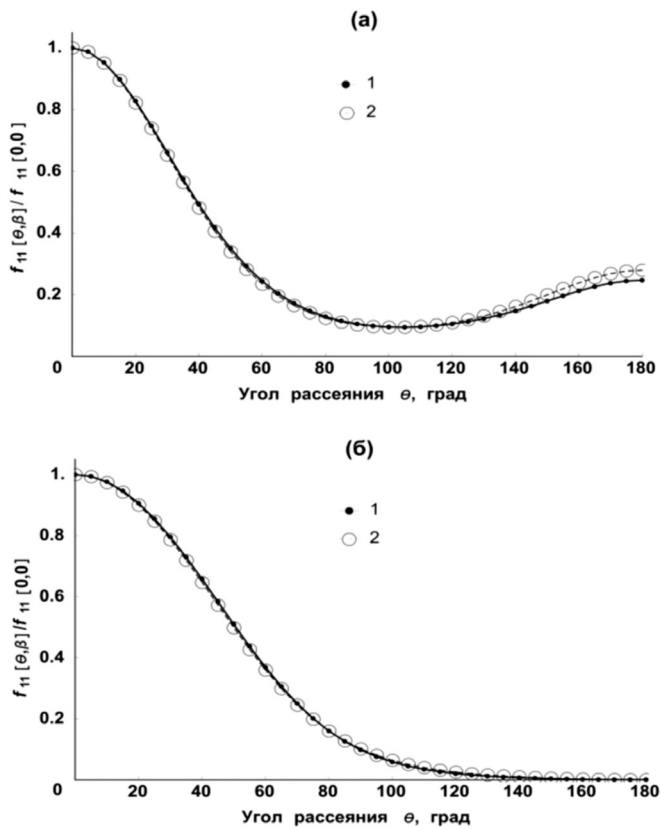


Рисунок 2. Зависимость индикатрисы светорассеяния  $f_{11}(\theta, \beta)/f_{11}(0,0)$  от угла рассеяния  $\theta$  для гексагональной пирамиды в приближении РГД (2) и по методу АДДА (1) при  $kR=3$ ,  $kH=3$  для падающего света вдоль оси симметрии (а) и перпендикулярно (б).

Далее на рис. 3 представлена индикатриса светорассеяния гексагонального столбика, рассчитанная по амплитуде РГД (6), для частицы с относительным показателем преломления  $m = 1.1 + i 0.01$  и  $kR=1$ ,  $kH=2$ ,  $kd=1$  в сравнении с расчетами методом АДДА при 44857 диполях.

Очевидно, что индикатриса светорассеяния гексагонального столбика РГД отличается от метода АДДА только в области больших углов светорассеяния (см. рис. 3).

Затем нами проведено детальное численное сравнение индикатрис светорассеяния в приближении РГД и более точном методе АДДА при в области малых фазовых сдвигов луча

$$\Delta = kL |m^2 - 1| \ll 1$$

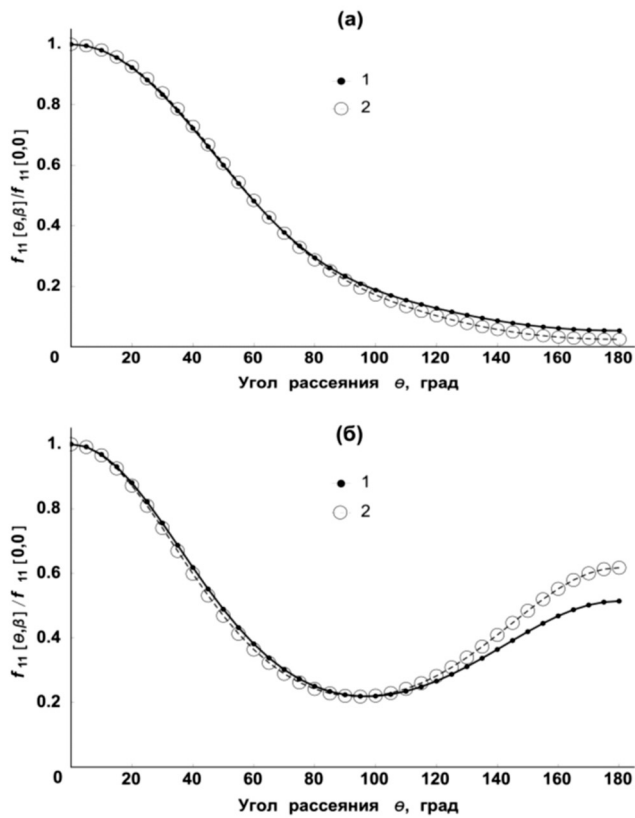


Рисунок 3. Зависимость индикатрисы светорассеяния  $f_{11}(\theta, \beta)/f_{11}(0,0)$  от угла рассеяния  $\theta$  для гексагонального столбика в приближении РГД (2) и по методу АДДА (1) при  $kR=1$ ,  $kH=2$ ,  $kd=1$  для падающего света вдоль оси симметрии (а) и перпендикулярно (б).

(где  $L$  – наибольшее расстояние в частице вдоль направления распространения света), т.е. в области применения приближения РГД (см. табл. 1 и 2).

Относительная погрешность вычислялась как:

$$\left( \frac{f_{\text{прибл.}}}{f_{\text{точн.}}} - 1 \right) \cdot 100\%$$

Индикатрисы светорассеяния в приближении РГД для гексагональной пирамиды при соотношении  $H/R=1$  достаточно хорошо согласуются с индикатрисами в методе АДДА при малых фазовых сдвигах  $\Delta$ : менее 6% и менее 2% по модулю для углов падения 90 и 0 градусов соответственно (см. табл. 1). Индикатрисы светорассеяния в приближении РГД для гексагонального столбика при соотношениях  $H/R=2$  и  $H/d=2$  также согласуются с индикатрисами в методе АДДА при малых фазовых сдвигах  $\Delta$  и не больших углах рассеяния ( $\theta < 90^\circ$ ): менее 4% и менее 6% по модулю для углов падения 90 и 0 градусов соответственно (см. табл. 2).

Таблица 1.

Относительная погрешность индикатрисы светорассеяния гексагональной пирамиды в приближении РГД, рассчитанной в сравнении с методом АДДА, при различных фазовых сдвигах  $\Delta$ , углах падения  $\theta_i$  и рассеяния  $\theta$ .

Угол падения $\theta_i$ , град	Фазовый сдвиг $\Delta$	Угол рассеяния $\theta$ , град			
		45	90	135	180
0	0.05	-0.12	0.04	0.12	-0.03
0	0.10	-0.15	0.01	0.09	-0.08
0	0.20	-0.31	-0.18	-0.06	-0.31
0	0.40	-1.24	-1.50	-0.25	-0.07
90	0.05	-2.10	-5.71	-1.87	0.01
90	0.10	-2.10	-5.71	-1.88	-0.01
90	0.20	2.11	-5.72	-1.91	-0.02
90	0.40	-2.20	-5.87	-2.16	-0.37

Таблица 2.

Относительная погрешность индикатрисы светорассеяния гексагонального столбика в приближении РГД, рассчитанной в сравнении с методом АДДА, при различных фазовых сдвигах  $\Delta$ , углах падения  $\theta_i$  и рассеяния  $\theta$ .

Угол падения $\theta_i$ , град	Фазовый сдвиг $\Delta$	Угол рассеяния $\theta$ , град			
		45	90	135	180
0	0.05	-0.01	-0.05	-0.10	-0.13
0	0.10	0.01	-0.10	-0.36	-0.53
0	0.20	0.05	-0.30	-1.42	-2.15
0	0.40	0.70	6.04	17.25	24.04
90	0.05	1.12	3.61	1.33	0.26
90	0.10	0.91	3.42	1.72	1.05
90	0.20	0.05	2.59	3.29	4.29
90	0.40	-3.68	-1.49	10.74	20.11

## ЗАКЛЮЧЕНИЕ

Таким образом, получены формулы для амплитуды светорассеяния пирамидой, имеющей гексагональное основание, в приближении РГД с помощью полученных ранее общих свойств сложения, перемещения и вращения форм-факторов в приближении РГД. Также получены аналитические формулы для амплитуды светорассеяния

иглоподобным гексагональным столбиком в приближении РГД.

Проведено численное сравнение индикаторис светорассеяния гексагональной пирамиды и иглоподобного гексагонального столбика в приближении РГД с результатами расчета методом Парселла–Пеннипакера или Дискретных диполей. Получено хорошее согласие для малых фазовых сдвигов.

## ЛИТЕРАТУРА

1. Борен К., Хафмен Д. Поглощение и рассеяние света малыми частицами. Пер. с англ. М.: Мир, 1986. 664с.
2. Ван де Хюлст Г. Рассеяние света малыми частицами. М.: ИЛ, 1961. 536с.
3. Light scattering by nonspherical particles: theory, measurements, and applications/ Ed. by Mishchenko M.I., Hovenier J.W., Travis L.D. San Diego: Academic Press, 2000. 690 р.
4. Kerker M. The scattering of light and other electromagnetic radiation. New York, London: Academic Press, 1969. 666 р.
5. Методы светорассеяния в анализе дисперсных биологических сред / В.Н. Лопатин, А.В. Приезжев, А.Д. Апонасенко и др. М.: Физматлит, 2004. 384с.
6. Velev O.D., Kaler E.W. and Lenhoff A.M. Protein Interactions in Solution Characterized by Light and Neutron Scattering: Comparison of Lysozyme and Chymotrypsinogen // Biophys. J. 1998. Vol. 75 P. 2682–2697.
7. Chylek P., Klett J.P. Extinction cross section of non-spherical particles in the anomalous diffraction approximation // J. Opt. Soc. Am. A. 1991. vol. 8. P. 274–281.
8. Chylek P., Klett J.P. Absorption and scattering of electromagnetic radiation by prismatic columns: Anomalous diffraction approximation // J. Opt. Soc. Am. A. 1991. Vol. 8. P. 1713–1720.
9. Liu C., Jonas P.R., Saunders C.P.R., Pyramidal ice crystal scattering phase functions and concentric halos // Ann. Geophysicae. 1996. vol. 14, P. 1192–1197.
10. Napper D.H. Light Scattering by Polyhedral Particles in the Rayleigh–Gans Domain // Kolloid-Z. und Z. Polymere. 1968. vol. 223, No 2. P. 141–145.
11. Шаповалов К.А. Light Scattering by a Prism and Pyramid in the Rayleigh–Gans–Debye Approximation // Optics. 2013. Vol. 2. No. 2. P.32–37. – doi:10.11648/j.optics.20130202.11
12. Исимару А. Распространение и рассеяние волн в случайно–неоднородных средах. Пер. с англ. М.: Мир, 1981. т.1. 280с.
13. Шаповалов К.А. Рассеяние света частицами цилиндрической формы в приближении Рэлея–Ганса–Дебая. 1. Стого ориентированные частицы // Оптика атмосферы и океана. 2004. т.17, № 4. С.350–353.
14. Шаповалов К.А. Рассеяние света частицами цилиндрической формы в приближении Рэлея–Ганса–Дебая. 2. Хаотично ориентированные частицы // Оптика атмосферы и океана. 2004. т.17, № 8. С.627–629.
15. Шаповалов К.А. Рассеяние света осесимметричными частицами в приближении Рэлея–Ганса–Дебая // Журнал Сибирского Федерального Университета. Серия "Математика и Физика". 2012. т. 5, № 4. С.586–592. [Электронный ресурс] – Режим доступа. – URL: <http://elib.sfu-kras.ru/bitstream/2311/3112/1/shapevlev.pdf>
16. Шаповалов К.А. Рассеяние света цилиндрической капсулой со сфероидальными торцами в приближении Рэлея–Ганса–Дебая // XIV международная научно–практическая конференция: "Научное обозрение физико–математических и технических наук в XXI веке" (г. Москва, 27–28 фев. 2015г.): труды. М.: МНО "Prospero", 2015. С. 102–105.
17. Шаповалов К.А. Амплитуда светорассеяния усеченной пирамиды и конуса в приближении Рэлея–Ганса–Дебая // Европейский исследователь. 2013. т.49. №5–2. С.1291–1297.
18. Шаповалов К.А. Рассеяние света цилиндрической капсулой с произвольными торцами в приближении Рэлея–Ганса–Дебая // Наука и образование. МГТУ им. Н.Э. Баумана. Электрон. журн. 2015. №5. С.309–318.–doi: 10.7463/0515.0768602
19. Yurkin M.A. and Hoekstra A.G. The discrete-dipole-approximation code ADDA: Capabilities and known limitations // J. Quant. Spectrosc. Rad. Transf. 2011. v.112. P. 2234–2247.

© К.А. Шаповалов, ( sh\_const@mail.ru ), Журнал «Современная наука: актуальные проблемы теории и практики»,

